



ISSN 1017 - 6616

SELÇUK ÜNİVERSİTESİ

TIP FAKÜLTESİ DERGİSİ

CİLT/VOLUME

15

SAYI/NUMBER

3

EYLÜL/SEPTEMBER

1999

| | |
|---|-----|
| İnsan fetuslarında plexus brachialis oluşumuna katılan yapıların morfometrik yöntemle değerlendirilmesi..... | 117 |
| I.I.Uysal, M.Şeker, M.Büyükmumcu, A.K.Karabulut, T.Zıylan, N.Yücel | |
| İzole tavşan mesane detrusor düz kasında hipotermi ile karbakol cevaplarının arttırılması ve bunun Ca^{+2} , K^{+} ve Na^{+} kanalları ile ilişkisi | 127 |
| K.E.Atalık, A.S.Şahin, M.Kılıç, N.Doğan | |
| Yatırılarak tüberküloz tedavisi başlanan 391 hastanın değerlendirilmesi | 133 |
| E.Ertay, İ.Tuncer, M.Süerdem | |
| The results of transpedicular fixation of unstable thoracolumbar vertebral fractures..... | 139 |
| M.Mutlu, T.Ögün, M.Arazi, M.İ.S.Kapıcıoğlu, Ö.Şafak, A.Kutlu | |
| Ağır preeklamptik gebelerin immunolojik yönden değerlendirilmesi | 145 |
| H.Görkemli, H.Albeni, Ç.Çelik, A.Acar, M.Çapar, C.Akyürek | |
| İnferior oblik hiperfonksiyonunda binoküler görme..... | 149 |
| Ü.Kamiş, B.Gökyiğit, Ö.F.Yılmaz | |
| Sezaryen anestezisinde ketamin-tiyopental ve ketamin-midazolam kombinasyonlarının karşılaştırılması..... | 155 |
| S.Ökesli, A.Yosunkaya, A.Duman, A.Borazan, S.Tuncer, A.Tavlan | |
| 6 mm goretex stretch politetraflouroetilen graft ile arteriovenoz shunt deneyimimiz..... | 161 |
| C.Özpınar, K.Hoşgör, K.Durgut, U.Özergin | |
| Lynch sendromu..... | 163 |
| M.Şahin, F.Aksoy, Ö.Karahan, H.Alptekin | |
| Akondroplazili bir olgu sunumu..... | 167 |
| M.E.atabek, K.Aydın, B.Oran, İ.Erkul | |
| Efor sonrası gelişen primer subklavian ven trombozu vaka takdimi..... | 171 |
| C.Özpınar, U.Özergin, N.Görmüş, K.Durgut | |

**Journal of The Faculty of Medicine,
University of Selçuk, Konya, Türkiye**

İnsan fetuslarında plexus brachialis oluşumuna katılan yapıların morfometrik yöntemle değerlendirilmesi

İsmihan İlknur UYSAL, Muzaffer ŞEKER, Mustafa BÜYÜKMUMCU, Ahmet Kağan KARABULUT
Taner ZİYLAN, Nurullah YÜCEL

S.Ü.T.F. Anatomi Anabilim Dalı, KONYA

ÖZET

Bu çalışmada 100 fetusda (ikinci trimester 75 - üçüncü trimester 25), iki taraflı yapılan diseksiyonlarda toplam 200 adet plexus brachialis incelendi. Diseksiyon sırasında lüp ve mikroskop kullanılarak, normal ve morfolojik varyasyon gösteren plexus brachialis'ler tespit edildi. Plexus brachialis'leri oluşturan elementlerin uzunluk ve kalınlıkları kumpas yardımı ile ölçüleerek fotoğrafları çekildi. Veriler SPSS programında (Windows için 8.0) Pearson korelasyon testi ve Student t-testi ile istatistiksel olarak değerlendirildi. Yapılan çalışmada 93 adet normal (C5, C6, C7, C8 ve T1 spinal sinirlerin oluşturduğu) plexus brachialis tespit edildi. Uzunluk ölçümü açısından kız ve erkek arasında C8, T1, truncus superior ve truncus medius'un ve kalınlık açısından, sağ ve sol arasında truncus inferior division dorsalis'in ortalamalarında anlamlı farklılığa rastlanırken, diğer parametrelerin ortalamaları arasındaki farkın istatistiksel açıdan anlamlı olmadığı gözlandı. Literatürdeki verilerle karşılaştırılarak tartışıldı. Bu bulguların fetal hayatı periferik sinir sistemi gelişimi hakkında ve konuya ilgili cerrahi uygulamalarda pratik açısından yararlı olabileceği ve teşhis ve tedavide çıkabilecek komplikasyonlar açısından bölgenin anatomik özelliğinin bireylere göre göz önünde bulundurulmasının gerekliliği kanaatine varıldı.

Anahtar Kelimeler: *Plexus brachialis, İnsan fetusu, Morfometrik ölçüm*

SUMMARY

The Morphometric Analysis of the Brachial Plexus Formation in Human Fetuses.

This study was carried out in 100 fetuses (75; 2nd trimester, 25; 3rd trimester) and totally 200 brachial plexus were evaluated under examination stereomicroscope. After bilateral fine dissection, to perform morphometric studies; the thickness and/or length of the each part that contribute to the formation of the brachial plexus were measured by calipers. Photographs of the brachial plexuses were taken after dissection. Data was statistically analysed by Pearson correlation and Student t-tests using SPSS software (for windows 8.0). In this study, 93 fetuses were decided as normal (the brachial plexus consist of the 5th, 6th, 7th, 8th cervical nerves and 1st thoracic nerve). The mean value of the length of the 8th cervical, 1st thoracic, upper trunk and middle trunk showed statistically significant difference between female and male. The mean value of the thickness of the posterior division of lower trunk showed statistically significant difference between right and left side. There was no significant difference in other parameters. Regarding to the correlation values between the age and the measured parameters, the growth rate of the each part that contribute to the formation of the brachial plexus was higher in 2nd trimester than in 3rd trimester. The reported results may provide useful information about the fetal development of peripheral nervous system, and in the diagnostic and therapeutic approach of paediatric surgeons for preventing complications.

Key Words: *Plexus brachialis, Human fetuses, Morphometric measurements.*

Plexus brachialis genellikle son dört servikal (C5, C6, C7, C8) ve ilk torakal (T1) spinal sinirlerin ramus ventralis'lerinin birleşmeler yapması sonucu oluşan, bir kısmı trigonum cervicale posterior ve bir kısmı da fossa axillaris'de bulunan bir yapıdır. Üst

ekstremité ye plexus brachialis ile giren sinirler; deri ve eklemeler gibi derin dokuların duyusal inervasyonu ve kasların motor innervasyonunu sağlar. Ayrıca aşağıdan gelen sempatik vasomotor sinirler plexus brachialis'e uğrar ve damarların

Haberleşme Adresi: Yrd.Doç.Dr. Muzaffer ŞEKER, S.Ü.T.F. Anatomi Anabilim Dalı, KONYA

çeperine geçer. Kan damalarının çapları üzerine etki eder ve ter bezlerinin sempatik sekretomotor innervasyonunu yapar (1). Plexus brachialis'ten çıkan periferik sinirlerin dağıldığı kaslar orjini bakımından çok farklı segment' (myotom)ten gelişmiştir ve buna bağlı olarak sinir liflerinin kaslara dağılımı karmaşık yapı göstermektedir (2). Genellikle C₅ ve C₆'nın ramus ventralisleri truncus superior'u, C₈ ve T₁'in ramus ventralis'leri truncus inferior oluşturur. C₇'nin ramus ventralis'i truncus medius olarak devam eder. Bu üç trunkus laterale doğru eğim yaparak hemen clavicula'nın üstünde veya arkasında divisiones ventralis (anteriores) ve divisiones dorsalis (posterores) olmak üzere ikişer dala ayrılırlar. Bu dallar değişik kombinasyonlar ile birleşerek üç adet fascikulus oluşturur (1,3,4). Truncus superior ve truncus medius'un division ventralis'leri a. axillaris'in lateralinde fasciculus lateralis'i meydana getirir. Trun-

cus inferior'un division ventralis'i aşağı inerek önce a. axillaris'in arkasında, sonra medialinde fasciculus medialis'i meydana getirir. Her üç trunkus'un division posterior'lari önce a. axillaris'in üstünde ve sonra arkasında fasciculus posterior'u oluşturur. Trunkusların ön ve arka dallarının oluşturduğu bu fascikuluslar da üst ekstremiteye dağılacak olan terminal dalları verirler (5,6) (Resim 1).

Plexus brachialis'in (7) ve dallanının anatomisi (kalınlık, uzunluk, dallanma ve morfolojik varyasyon özellikleri) ile ilgili insan kadavrasi ve çeşitli hayvanlar üzerinde (8) diseksiyon çalışmaları yapılmıştır. Bu tür çalışmalarдан elde edilen sonuçların klinik cerrahi uygulama yaklaşımlarında yararlı olacağı bildirilmektedir (6, 9, 10, 11).

Fetuslar'da plexus brachialis'in morfometrik gelişimi, cinsiyete, lateralizasyona (sağ-sol) ve tri-



Resim 1. 30 haftalık fetüsde (Fetus no 100) normal bir sol plexus brachialis'in genel görünümü; x12.5 (1: C5, 2:C6, 3: C7, 4: C8, 5: T1, o: Truncus medius, 8: Truncus inferior, 9: Truncus superior division ventralis, 10: Truncus superior division dorsalis, 11: Truncus medius division ventralis, 12: Truncus inferior division ventralis, 13: Truncus inferior division dorsalis, 14: Fasciculus lateralis, 15: Fasciculus posterior, 16: Fasciculus medialis, 17: N. musculocutaneus, 18: N. medianus, 19: N. ulnaris, 20: N. radialis, 21: N. axillaris).

mesterlara göre farklılıkların tespiti ile, elde edilen sonuçların istatistiksel olarak değerlendirilmesinin ve yetişkinlerde yapılmış çalışmalarla karşılaşılmasının yararlı olacağını düşünerek bu çalışma planlandı. Bu yapıların gelişiminin genelde bilinen trimester'lerdeki fetal gelişme bilgileri ile uyumlu olup olmadığına belirlenmesi amaçlandı.

GEREÇ VE YÖNTEM

Çalışmada Selçuk Üniversitesi Tıp Fakültesi Anatomı Anabilim Dalı'nda, Konya Doğum Evi, Selçuk Üniversitesi Tıp Fakültesi Hastanesi ve S.S.K Kadın Doğum ve Çocuk Hastanesi'nden temin edilerek oluşturulan fetus kolleksiyonunda yer alan, dış görünümlerinde herhangi bir anomalisi bulunmayan, Crown Rump Length (Tepe-Kıç Mesafesi) uzunluklarına göre haftalık yaşıları Polin ve Fo'x'un yaş tabanı metoduna göre belirlenen (12) 100 adet (50 adet erkek, 50 adet dişi fetus olmak üzere; 75 adet 2. trimester, 25 adet 3. trimester'e ait) abort fetus kullanıldı. Çalışmada kullanılan tüm fetuslara (100 adet) ait plexus brachialis'ler (200 adet) aynı kişi tarafından mikro-cerrahi mikroskopu (Carl Zeiss, Colposcope Plus, Almanya) altında diseke edildi (13). Diseksiyon işleminin yapıldığı gün plexus brachialis'le ilgili tüm ölçümeler yapıldı. Böylece ölçümlere bağlı meydana gelebilecek hatanın en aza indirilmesi amaçlandı.

Plexus brachialis'in kökleri, trunkuslar, divisionalar, fasikuluslar ile bunlardan ayrılan terminal dallar tümüyle görünür hale getirildi. Diseksiyon sırasında komşu yapılar kontrol edildi. Sağ ve sol plexus brachialis'lerin anatomik yapısı, dallanmaları ve varyasyonları incelendi. Hem normal hem de varyasyon tespit edilen oluşumların fotoğrafları çekildi. Plexus brachialis'i oluşturan yapıların uzunluk-kalınlıkları ve terminal dalların kalınlıkları Vin marka kumpas yardımıyla ölçüm yapılarak belirlendi.

Morfometrik ölçümelerin alındığı yerler:

Plexus brachialis'i oluşturan n.spinalis'lerin ramus ventralis'leri (C5, C6, C7, C8, T1)'nin uzunlukları; foramen intervertebrale'den çıktıları yer ile truncus'lari oluşturdukları seviye arasından ölçüldü. Kalınlıkları; foramen intervertebrale'den çıkış noktasından alındı.

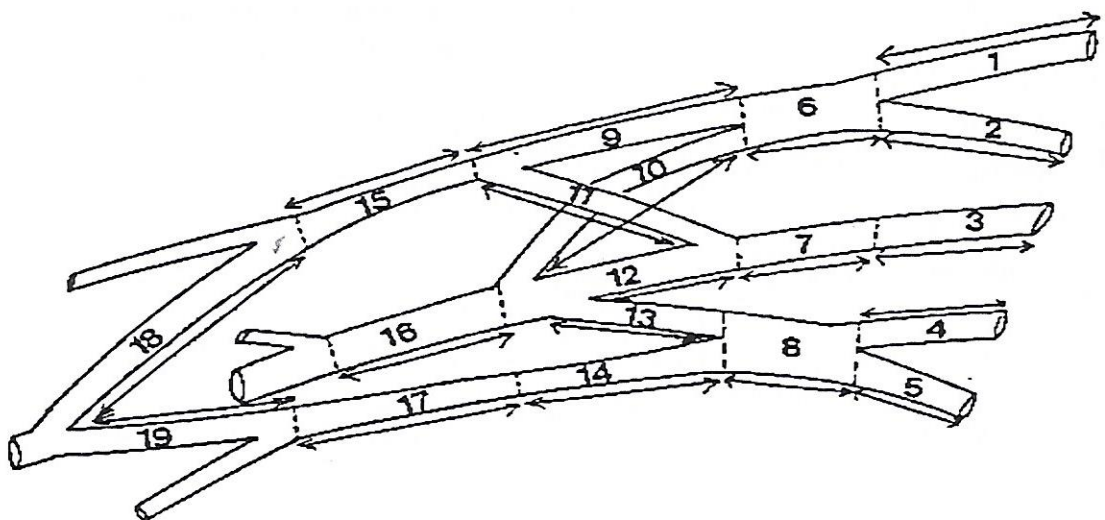
Truncus superior, truncus medius ve truncus inferior'a ait uzunluklar; başlangıç noktaları ile di-

visionlara aynı oldukları noktalar arasından alındı. Kalınlıkları; trunkus'ların ilk olduğu seviyeden ölçüldü. Trunkusların division anterior ve posterior'lara ait uzunluklar; trunkus'lardan ayrıldıkları yer ile fasikulusları oluşturdukları seviyeler arasından alındı. Truncus inferior division ventralis'i fasciculus medialis olarak devam ettiği ve gözle görülebilir bir ayırm yeri olmadığı için, tüm fetus'larda fasikulus'ların m. pectoralis minor altında olması gözönünde bulundurularak ölçülmüş oldu. Kalınlıkları; ilk ayrılma noktalarından ölçüldü.

Fasciculus lateralis'e ait uzunluk; truncus superior'un division anterior'u ile truncus medius'un division anterior'unun birleşme noktası ile n. musculocutaneus'un ayrılma noktası arasından, kalınlık ise fasciculus lateralis'in olduğu yerden ölçüldü. Fasciculus medialis'e ait uzunluk; truncus inferior'un division ventralis'in fasciculus oluşturduğu yer ile n. ulnaris'in ayrılma noktası arasından, kalınlık ise fasciculus medialis'in olduğu bölümden ölçüldü. Fasciculus posterior'a ait uzunluk; her üç truncus'un division dorsalis'lerinin birleşme noktası ile n. axillaris'in ayrılma noktası arasından, kalınlık ise fasciculus posterior'un olduğu kısımdan ölçüldü.

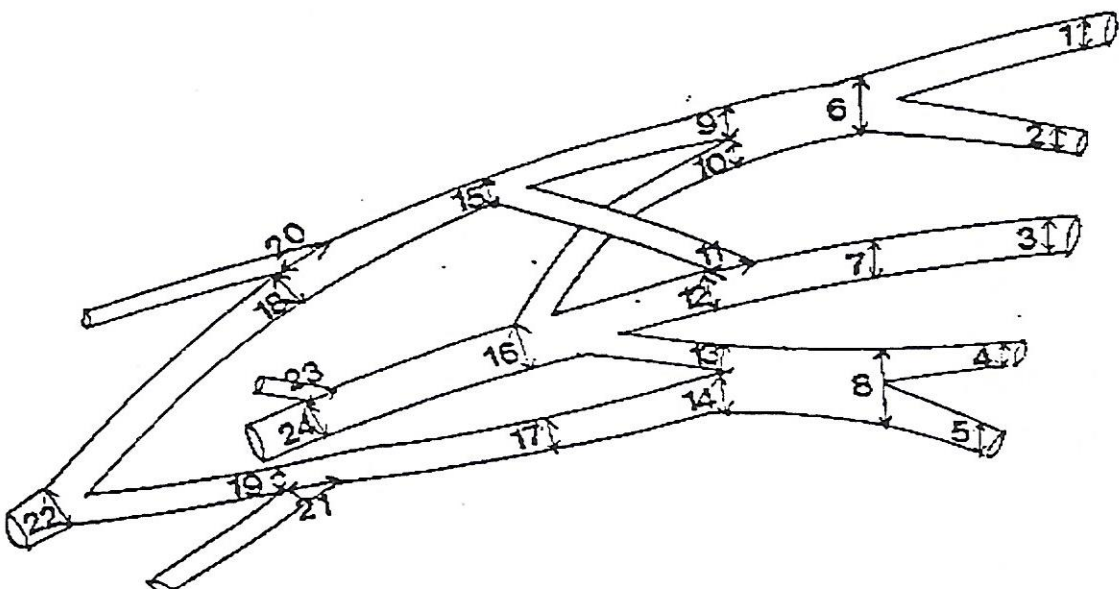
Fasikulus'lardan ayrılan sınırlere (n.musculocutaneus, n.medianus, n.ulnaris, n.axillaris ve n. radialis) ait kalınlık ölçümü; fasikulus'lardan ayrıldıkları ve herhangi bir dal vermeden önceki bölümlerinden yapıldı. N. medianus'u oluşturan ve fasciculus lateralis'ten ayrılan radix lateralis nervi mediani ile fasciculus medialis'den ayrılan radix medialis nervi mediani'ye ait uzunluk ölçümü; fasikulus'lardan ayrıldıkları nokta ile n. medianus'u oluşturdukları yer arasında yapıldı. Kalınlık ölçümü ise ilk fasikulus'lardan ayrıldıkları noktadan ölçüldü (6). Tüm uzunluk ve kalınlık ölçümelerinin alındığı yerler Şekil 1 ve 2'de şematik olarak gösterildi.

Herhangi bir varyasyon gözlenmeyen 93 adet plexus brachialis'e ait uzunluk- kalınlık ölçüm verileri SPSS programına (Windows için 8.0) aktarıldı. Tanımlayıcı istatistik olarak ortalama \pm standart sapma değerleri hesaplandı. Ortalamaların karşılaştırılmasında varyansların homojen olup olmadığı dikkate alınarak Student t-testi kullanıldı. P<0.05 değeri istatistiksel olarak anlamlı kabul edildi. Parametreler arası ilişki Pearson korelasyon testi



Şekil 1. *Plexus brachialis'i oluşturan yapıların uzunluk ölçümlerinin alındığı yerler.*

(1: C5, 2: C6, 3: C7, 4: C8, 5: T1, 6: Turuncus superior, 7: Truncus medius, 8: Truncus inferior, 9: Truncus superior division ventralis, 10: Truncus superior division dorsalis, 11: Truncus medius division ventralis, 12: Truncus medius division dorsalis, 13: Truncus inferior division dorsalis, 14: Truncus inferior division ventralis, 15: Fasciculus lateralis, 16: Fasciculus posterior, 17: Fasciculus medialis, 18: Radix lateralis nervi mediani, 19: Radix medialis nervi mediani).



Şekil 2. *Plexus brachialis'i oluşturan yapıların kalınlık ölçümlerinin alındığı yerler.*

(1: C5, 2: C6, 3: C7, 4: C8, 5: T1, 6: Truncus superior, 7: Truncus medius, 8: Truncus superior division ventralis, 10: Truncus superior division dorsalis, 11: Truncus medius division ventralis, 12: Truncus medius division dorsalis, 13: Truncus inferior division dorsalis, 14: Truncus inferior division ventralis, 15: Fasciculus lateralis, 16: Fasciculus posterior, 17: Fasciculus medialis, 18: Radix lateralis nervi mediani, 19: Radix medialis nervi mediani, 20: N. musculocutaneus, 21: N. ulnaris, 22: N. medianus, 23: N. axillaris, 24: N. radialis).

ile değerlendirildi. Bu testlerle cinsiyet (kız- erkek), lateralizasyon (sağ- sol) ve trimester (2.-3.) karşılaştırımları yapılmak suretiyle tablolar düzenlenendi. İkinci ve 3. trimester fetislarda uzunluk ve kalınlık değerleri ile yaşı (hafta) arasındaki korelasyona bakıldı.

Bu çalışma insan fetüslerinde plexus brachialis'in morfolojik varyasyonları ve morfometrik özelliklerinin belirlenmesini amaçlayan geniş kapsamlı araştırmanın bir bölümündür (14).

BULGULAR

Literatürde normal olarak nitelendirilen plexus brachialis yapısına uygunluk gösterenlere ait parametrelerin uzunluk ve kalınlıklarının 2. trimester (13 hafta-27 hafta) ve 3. trimester (28 hafta- 40 hafta)'deki ortalama \pm (standart sapma) değerleri

elde edildi ve bu veriler tablolar ile gösterildi (Tablo1).

Plexus brachialis'i oluşturan yapıların uzunluk ve kalınlık yönünden, 2. ve 3. trimester'de küçükten büyüğe doğru sıralama yapıldı.

Uzunluk yönünden:

2.trimester'de; C7< C8 <T1< C6< C5 , Truncus inferior< Truncus superior< Truncus medius, Truncus inferior division ventralis< Truncus medius division ventralis < Truncus superior division ventralis, Truncus medius division dorsalis< Truncus inferior division dorsalis < Truncus superior division dorsalis, Fasciculus lateralis< Fasciculus posterior < Fasciculus medialis, Radix medialis nervi mediani< Radix lateralis nervi mediani

Tablo 1. İkinci trimester ($n = 62$) ve üçüncü trimester ($n = 31$) fetislarda, varyasyonsuz plexus brachialis'i oluşturan yapıların uzunluk ve kalınlık değerleri (mm)

| Parametreler | Uzunluk Ortalama \pm SS) | | Kalınlık (Ortalama \pm SS) | |
|----------------------|----------------------------|----------------|------------------------------|---------------|
| | 2. trimester | 3. trimester | 2. trimester | 3. trimester |
| C6 | 5.1 \pm 1.9 | 8.8 \pm 1.6 | 0.9 \pm 0.3 | 1.5 \pm 0.2 |
| C7 | 3.7 \pm 1.5 | 5.6 \pm 0.9 | 1.0 \pm 0.3 | 1.5 \pm 0.2 |
| C8 | 4.7 \pm 1.8 | 7.0 \pm 2.4 | 0.9 \pm 0.3 | 1.4 \pm 0.3 |
| T1 | 4.8 \pm 1.8 | 6.9 \pm 2.0 | 0.7 \pm 0.2 | 1.2 \pm 0.4 |
| Truncus superior | 2.4 \pm 0.7 | 3.5 \pm 0.9 | 1.3 \pm 0.4 | 2.3 \pm 0.5 |
| Division ventralis | 5.9 \pm 1.9 | 10.7 \pm 3.1 | 0.7 \pm 0.3 | 1.0 \pm 0.3 |
| Division dorsalis | 5.6 \pm 2.0 | 10.2 \pm 3.1 | 0.8 \pm 0.3 | 1.3 \pm 0.3 |
| Truncus medius | 3.9 \pm 1.6 | 6.7 \pm 2.0 | 0.9 \pm 0.3 | 1.6 \pm 0.4 |
| Division ventralis | 4.6 \pm 1.7 | 8.5 \pm 2.6 | 0.7 \pm 0.5 | 1.0 \pm 0.2 |
| Division dorsalis | 3.9 \pm 1.8 | 7.5 \pm 2.8 | 0.7 \pm 0.2 | 1.2 \pm 0.3 |
| Truncus inferior | 2.3 \pm 1.0 | 3.7 \pm 1.2 | 1.3 \pm 0.6 | 2.3 \pm 0.6 |
| División ventralis | 3.1 \pm 1.8 | 6.2 \pm 1.8 | 0.9 \pm 0.4 | 1.4 \pm 0.3 |
| Division dorsalis | 4.6 \pm 2.0 | 8.0 \pm 2.6 | 0.5 \pm 0.2 | 0.9 \pm 0.4 |
| Fasciculus lateralis | 2.6 \pm 1.7 | 7.4 \pm 4.0 | 1.2 \pm 0.5 | 1.9 \pm 0.7 |
| Fasciculus medialis | 4.1 \pm 2.0 | 7.6 \pm 3.0 | 1.0 \pm 0.3 | 1.6 \pm 0.4 |
| Fasciculus posterior | 2.5 \pm 1.0 | 5.1 \pm 1.3 | 1.5 \pm 0.5 | 2.7 \pm 0.5 |
| Radix medialis NM | 5.4 \pm 3.0 | 9.5 \pm 4.3 | 0.8 \pm 1.0 | 1.0 \pm 0.2 |
| Radix lateralis NM | 5.7 \pm 2.3 | 8.3 \pm 3.1 | 0.7 \pm 0.3 | 1.1 \pm 0.3 |
| N.medianus | - | - | 1.0 \pm 0.4 | 1.7 \pm 0.3 |
| N.radialis | - | - | 1.0 \pm 0.3 | 1.7 \pm 0.3 |
| N.ulnaris | - | - | 0.7 \pm 0.2 | 1.1 \pm 0.2 |
| N.axillaris | - | - | 0.5 \pm 0.2 | 0.9 \pm 0.1 |
| N.musculocutaneus | - | - | 0.5 \pm 0.2 | 0.8 \pm 0.1 |

(Radix medialis NM=radix medialis nervi mediani, Radix lateralis NM=radix lateralis nervi mediani)

3.trimester'de; C7< T1< C8<C6< C5, Truncus superior < Truncus inferior < Truncus medius , Truncus inferior division ventralis < Truncus medius division ventralis < Truncus superior division ventralis, Truncus medius division dorsalis< Truncus inferior division dorsalis<Truncus superior division dorsalis, Fasciculus posterior < Fasciculus lateralis < Fasciculus medialis, Radix lateralis nervi mediani< Radix medialis nervi mediani olduğu bulunduğu bulundu.

Kalınlık açısından:

2. trimester'de; C5= T1< C6= C8 < C7 , Truncus medius< Truncus inferior< Truncus superior, Truncus superior division ventralis = Truncus medius division ventralis < Truncus inferior division ventralis, Truncus inferior division dorsalis < Truncus medius division dorsalis = Truncus superior division dorsalis, Fasciculus medialis < Fasciculus lateralis < Fasciculus posterior, N. musculocutaneus= N. axillaris< N. ulnaris< N. medianus< N. radialis, Radix medialis nervi mediani< Radix lateralis nervi mediani

3. trimester'de; C5< T1< C6 = C8= C7, Truncus

medius< Truncus inferior= Truncus superior, Truncus superior division ventralis = Truncus medius division ventralis < Truncus inferior division ventralis, Truncus inferior division dorsalis < Truncus medius division dorsalis < Truncus superior division dorsalis, Fasciculus medialis < Fasciculus lateralis < Fasciculus posterior, N. musculocutaneus< N. axillaris< N. ulnaris< N. medianus= N. radialis, Radix medialis nervi mediani < Radix lateralis nervi mediani

Tüm parametrelerin uzunluk ve kalınlık ölçümelerinden elde edilen veriler Pearson korelasyon testi ile 2.trimester (n=62) ve 3.trimester (n=31)'deki korelasyon katsayıları elde edilerek tablo halinde gösterildi (Tablo 2-4).

TARTIŞMA

Bütünplexusların ölçümleri alındıktan sonra tamamen normal olarak değerlendirilen 93 tanesi üzerinde gelişim anatomisine yönelik fikir vereceği düşünülen istatistiksel çalışmalar yapıldı. Morfolojik varyasyon göstermeyen fetuslarda 2. ve 3. trimester'de kalınlıklar ile uzunlıklar ters orantılıydı. Di-

Tablo 2. Fetuslarda varyasyonsuz plexus brachialis oluşumlarına ait uzunluk ve kalınlık değerlerinin (mm) sağ-sol karşılaştırması (Ortalama ± Standart Sapma) (n = 93)

| Parametreler | Uzunluk (Ortalama±SS) | | | | Kalınlık (Ortalama±SS) | | | |
|----------------------|-----------------------|---------------|-------|------|------------------------|---------------|-------|------|
| | Sağ (n=37) | Sol (n=56) | t | p | Sağ (n=37) | Sol (n=56) | t | p |
| C5 | 7.6±2.8 | 7.3±2.9 | 0.45 | 0.65 | 0.9±0.3 | 0.9±0.3 | -0.57 | 0.57 |
| C6 | 6.3±2.5 | 6.4±2.6 | -0.26 | 0.79 | 1.3±0.4 | 1.1±0.4 | -0.70 | 0.48 |
| C7 | 4.2±1.6 | 4.5±1.6 | -0.86 | 0.39 | 1.1±0.4 | 1.2±0.4 | -0.93 | 0.35 |
| C8 | 5.3±2.3 | 5.6±2.3 | -0.71 | 0.47 | 1.0±0.4 | 1.1±0.4 | -0.19 | 0.85 |
| T1 | 5.8±2.3 | 5.4±2.0 | 0.92 | 0.35 | 0.9±0.3 | 0.9±0.4 | -0.28 | 0.78 |
| Truncus superior | 2.7±0.9 | 2.8±1.0 | -0.40 | 0.69 | 1.6±0.6 | 1.7±0.7 | -1.05 | 0.29 |
| Division ventralis | 6.9±3.2 | 7.3±3.3 | -0.55 | 0.58 | 0.7±0.3 | 0.8±0.3 | -1.17 | 0.24 |
| Truncus medius | 4.7±1.9 | 4.9±2.4 | -0.33 | 0.74 | 0.9±0.3 | 1.0±0.4 | -0.84 | 0.40 |
| Division ventralis | 5.9±2.8 | 6.0±2.7 | -0.17 | 0.86 | 1.0±0.4 | 1.2±0.5 | -1.41 | 0.16 |
| Division dorsalis | 5.1±2.8 | 5.1±2.7 | -0.13 | 0.89 | 0.7±0.4 | 1.1±0.5 | -1.20 | 0.23 |
| Truncus inferior | 2.7±1.3 | 2.8±1.3 | -0.28 | 0.78 | 1.7±0.8 | 1.7±0.7 | -0.05 | 0.96 |
| Division ventralis | 4.0±2.2 | 4.2±2.4 | -0.29 | 0.77 | 1.2±0.4 | 1.1±0.5 | -0.44 | 0.65 |
| Division dorsalis | 5.4±2.5 | 5.9±2.8 | -0.89 | 0.37 | 0.6±0.3 | 0.7±0.4 | -2.20 | 0.03 |
| Fasciculus lateralis | 4.4±3.5 | 4.1±3.5 | 0.42 | 0.67 | 1.4±0.5 | 1.5±0.8 | -0.40 | 0.68 |
| Fasciculus medialis | 5.0±2.5 | 5.5±3.1 | -0.80 | 0.42 | 1.2±0.4 | 1.2±0.5 | -0.54 | 0.58 |
| Fasciculus posterior | 3.4±1.6 | 3.4±1.7 | -0.21 | 0.83 | 1.9±0.7 | 1.9±0.8 | -0.67 | 0.50 |
| Radix medialis NM | 7.1±4.0 | 6.5±3.9 | 0.70 | 0.48 | 0.7±0.3 | 0.9±1.0 | -1.13 | 0.26 |
| Radix lateralis NM | 6.4±2.8 | 6.7±2.9 | -0.51 | 0.61 | 0.8±0.4 | 0.8±0.3 | 0.05 | 0.96 |
| N.medianus | - | - | - | - | 1.1±0.4 | 1.3±0.5 | -1.88 | 0.06 |
| N.radialis | - | - | - | - | 1.6±0.4 | 1.3±0.5 | -1.40 | 0.16 |
| N.ulnaris | - | - | - | - | 0.8±0.3 | 0.8±0.3 | -0.76 | 0.44 |
| N.axillaris | - | - | - | - | 0.7±0.3 | 0.7±0.2 | -0.95 | 0.34 |
| N.musculocutaneus | - | - | - | - | 0.6±0.3 | 0.6±0.2 | -0.95 | 0.34 |

(Radix medialis NM=radix medialis nervi mediani, Radix lateralis NM=radix lateralis nervi mediani)

ğer bir deyişle aynı trimester içerisinde ele alınan oluşumun uzunluk değerleri yüksek iken kalınlık değerlerinin düşük olduğu gözlandı.

İkinci trimesterde parametrelerin yaş ile korelasyonunda, korelasyon katsayıları çoğunca daha yüksek iken, 3.trimesterdeki korelasyon katsayıları 2.trimestere göre düşük bulundu. Truncus superior division ventralisi, truncus medius division ventralisi, truncus medius division dorsalis, fasciculus lateralis, radix medialis nervi mediani'nin uzunluk ölçüm verileri ve radix medialis nervi mediani'nin kalınlık ölçüm verilerinin korelasyon katsayılarının ise 3.trimesterde 2.trimestere göre yüksek olduğu bulundu. Bu da 2.trimesterde plexus brachialis oluşumuna katılan yapıların uzunluk ve kalınlık açısından büyümeye hızının daha fazla olmasına karşın 3.trimesterde yavaşlayarak devam ettiğini göstermektedir. Elde edilen bu sonuç literatürlerde geçen, 2.trimesterde fetusun gelişiminin daha hızlı olması ve uzunluğunda artış olmasına karşın, 3.trimesterde ise gelişimin devam etmesi yanında özellikle fetusun ağırlığında artış olması bilgileri ile uyumlu bulundu.

Yetişkin kadavraları ile yapılan lif sayımı çalışmasında C_7 'nin ramus ventralis'inin kalınlık yönünden en büyük (7,15) ve C_5 'in kalınlığının en az (16) değere sahip olduğu belirtimiştir. Yeni doğan kadavrası çalışmasında da aynı sonuçla karşılaşılmıştır (6). Bu çalışmada 2.trimester de C_5 'in en ince, C_7 'nin diğerlerinden kalın olduğu, 3.trimesterde C_5 'in ince, C_6 , C_7 ve C_8 'in birbirine eşit ve kalın olduğu saptandı. Her iki trimesterde de truncus medius diğerlerine göre inceydi, fasciculus posterior en kalın fasciculus iken, n. radialis'de en kalın terminal dal olarak belirlendi. Truncus inferior division dorsalis'in diğer divisionlara göre daha az lif içeriği ve çok ince olduğu belirtimesine karşın (5), bu çalışmada truncus superior division ventralisi' ince iken, truncus superior division dorsalis'i kalın, truncus inferior division ventralisi' kalınken truncus inferior division dorsalis'in daha ince olduğu belirlendi. Dolayısı ile 2. ve 3. trimester fetusların plexus brachialislerinde en ince truncus divisionun truncus in-

terior divisyon dorsalis olduğu bulundu.

Urbanowicz (17) 11 günlük ile 86 yaşı arasında, 35 erkek ve 34 dişi kadavrasından elde ettiği toplam 137 truncus üzerinde çalışmış, truncus inferior'un kalınlığı, liflerinin sayısı ile ilgili histolojik çalışmada büyük kişisel varyasyonlar ve asimetri gözlemlerken, ve özellikle de 1-14 yaşı arasında postnatal yaşamda truncus ve fasciculus'ların morfolojik özelliklerinin büyük değişiklikler gösterdiğini ifade etmiştir. Bu araştırmada lif sayımına yönelik histolojik çalışma yapılmadığından, truncusların kalınlık karşılaştırması, kumpas yardımı ile alınan ölçüm verileri aracılığıyla yapıldı.

Bu çalışmada ölçüyü yapılan parametreler'e ait veriler lateralizasyon (sağ-sol) açısından değerlendirildi ve sadece truncus inferior division dorsalis'inin kalınlığında sağ ve sol plexuslar arasında anlamlı farklılık ($P<0.05$) bulundu, diğer parametrelerin uzunluk ve kalınlıkları ile ilgili herhangi bir anlamlı farklılığa rastlanmadı (Tablo 2). Ayrıca cinsiyet (kız- erkek) ile ilgili aynı işlemler tekrarlandı. Sonuçta, C_8 , T_1 , truncus superior ve truncus medius'un uzunlıklarında kız ve erkek fetusların plexuslarında anlamlı farklılık ($P<0.05$) gözlenirken, diğer parametrelerin ölçümlerine ait anlamlı farklılık gözlenmedi (Tablo 3).

Yapılan çalışmanın sonucunda; insan fetuslarına ait plexus brachialis'in yapısı ve oluşuma katılan elementlerin genel morfolojik özellikleri ve varyasyonları ile morfometrik değerlendirilmesi elde edildi. Fetislarda yapılan çalışma ile direkt ilgili literatür destegenin az olması nedeni ile bu çalışma ile benzerlikler gösteren neonatal döneme ait bir çalışma ve düşük sayıdaki kadavra çalışmaları ile karşılaştırma yapıldı (6, 15, 18, 19). Yetişkin kadavraları üzerinde yapılacak benzer bir çalışma ile klinik önemi yüksek olan bu bölgenin morfolojik ve morfometrik açıdan daha iyi analiz edilebileceği düşünüldü. Ayrıca daha sonraki aşamada plexus brachialis oluşumuna katılan yapıların sinir lifi sayımına yönelik histolojik çalışmanın, özellikle neurotizasyon (20, 21) uygulamalarında faydalı olacağının düşünülmektedir.

Tablo 3. Fetüslerde varyasyonsuz plexus brachialis oluşumlarına ait uzunluk ve kalınlık değerlerinin (mm) kız-erkek karşılaştırması (Ortalama ± Standart Sapma) (n= 93)

| Parametreler | Uzunluk (Ortalama±SS) | | | | Kalınlık (Ortalama±SS) | | | |
|----------------------|-----------------------|-----------------|-------|------|------------------------|-----------------|-------|------|
| | Kız (n=40) | Erkek (n=53) | t | p | Kız (n=40) | Erkek (n=53) | t | p |
| C5 | 7.4±3.0 | 7.4±2.8 | -0.03 | 0.97 | 0.9±0.3 | 0.9±0.3 | 0.70 | 0.48 |
| C6 | 6.2±2.5 | 6.5±2.6 | -0.68 | 0.49 | 1.0±0.4 | 1.1±0.4 | -0.82 | 0.41 |
| C7 | 4.1±1.3 | 4.5±1.8 | -1.09 | 0.27 | 1.1±0.3 | 1.2±0.4 | -0.80 | 0.43 |
| C8 | 4.9±1.6 | 5.9±2.6 | -2.28 | 0.02 | 1.0±0.4 | 1.1±0.4 | -0.53 | 0.59 |
| T1 | 5.0±1.6 | 5.9±2.4 | -2.07 | 0.04 | 0.9±0.3 | 0.9±0.4 | -0.66 | 0.51 |
| Truncus superior | 2.5±0.8 | 3.0±1.0 | -2.12 | 0.04 | 1.7±0.6 | 1.6±0.6 | 0.19 | 0.84 |
| Division ventralis | 7.0±2.8 | 7.8±3.6 | -1.30 | 0.19 | 0.8±0.3 | 0.8±0.3 | 0.23 | 0.82 |
| Division dorsalis | 0.9±0.3 | 0.9±0.4 | -0.69 | 0.49 | 0.9±0.3 | 0.9±0.4 | -0.35 | 0.72 |
| Truncus medius | 4.3±2.1 | 5.2±2.2 | -2.12 | 0.04 | 1.1±0.4 | 1.1±0.5 | -0.79 | 0.43 |
| Division ventralis | 5.7±2.6 | 6.1±2.9 | -0.66 | 0.51 | 0.8±0.6 | 0.8±0.3 | 0.71 | 0.48 |
| Division dorsalis | 5.0±2.4 | 5.2±3.0 | -0.37 | 0.71 | 0.8±0.3 | 0.9±0.3 | 0.52 | 0.60 |
| Truncus inferior | 2.7±1.3 | 2.8±1.3 | -0.55 | 0.58 | 1.6±0.8 | 1.7±0.7 | -0.55 | 0.58 |
| Division ventralis | 4.2±2.5 | 4.0±2.2 | 0.43 | 0.67 | 1.0±0.5 | 1.1±0.4 | 0.27 | 0.78 |
| Division dorsalis | 5.8±2.2 | 5.7±3.0 | 0.15 | 0.87 | 0.7±0.3 | 0.6±0.3 | 0.52 | 0.60 |
| Fasciculus lateralis | 3.5±2.7 | 4.7±4.0 | -1.76 | 0.08 | 1.4±0.5 | 1.5±0.8 | -0.68 | 0.49 |
| Fasciculus medialis | 5.2±2.9 | 5.4±2.9 | -0.33 | 0.74 | 1.1±0.4 | 1.2±0.5 | -1.19 | 0.23 |
| Fasciculus posterior | 3.3±1.7 | 3.5±1.7 | -0.52 | 0.60 | 1.9±0.7 | 1.9±0.8 | 0.13 | 0.89 |
| Radix medialis NM | 6.3±3.4 | 7.1±4.3 | -0.95 | 0.34 | 1.0±1.2 | 0.8±0.3 | 1.06 | 0.29 |
| Radix lateralis NM | 6.3±2.5 | 6.8±3.1 | -0.79 | 0.43 | 0.8±0.3 | 0.8±0.4 | 0.70 | 0.48 |
| N.medianus | - | - | - | - | 1.2±0.4 | 1.2±0.5 | 0.34 | 0.73 |
| N.radialis | - | - | - | - | 1.3±0.5 | 1.2±0.4 | 0.88 | 0.38 |
| N.ulnaris | - | - | - | - | 0.9±0.3 | 0.8±0.3 | 1.29 | 0.20 |
| N.axillaris | - | - | - | - | 0.7±0.2 | 0.7±0.2 | -0.15 | 0.88 |
| N.musculocutaneus | - | - | - | - | 0.6±0.2 | 0.6±0.3 | -0.37 | 0.71 |

(Radix medialis NM=radix medialis nervi mediani, Radix lateralis NM=radix lateralis nervi mediani)

Tablo 4. İkinci ve üçüncü trimester fetüslerde, varyasyonsuz plexus brachialis'i oluşturan yapıların uzunluk ve kalınlık değerlerinin (mm) yaşı ile (hafta) korelasyonu

| Parametreler | Uzunluk | | | | Kalınlık | | | |
|----------------------|------------------------|-------|------------------------|-------|------------------------|-------|------------------------|-------|
| | 2. trimester (n=62) | | 3. trimester (n=31) | | 2. trimester (n=62) | | 3. trimester (n=31) | |
| | r | p | r | p | r | p | r | p |
| C5 | 0.743 | 0.000 | 0.099 | 0.597 | 0.648 | 0.000 | -0.152 | 0.415 |
| C6 | 0.798 | 0.000 | 0.377 | 0.037 | 0.756 | 0.000 | 0.606 | 0.000 |
| C7 | 0.751 | 0.000 | 0.485 | 0.006 | 0.800 | 0.000 | 0.510 | 0.003 |
| C8 | 0.574 | 0.000 | 0.306 | 0.094 | 0.756 | 0.000 | 0.418 | 0.019 |
| T1 | 0.533 | 0.000 | 0.398 | 0.026 | 0.783 | 0.000 | 0.390 | 0.030 |
| Truncus superior | 0.342 | 0.006 | 0.048 | 0.798 | 0.855 | 0.000 | 0.327 | 0.073 |
| Division ventralis | 0.692 | 0.000 | 0.734 | 0.000 | 0.637 | 0.000 | -0.129 | 0.490 |
| Division dorsalis | 0.522 | 0.000 | 0.374 | 0.038 | 0.712 | 0.000 | -0.194 | 0.295 |
| Truncus medius | 0.591 | 0.000 | 0.482 | 0.006 | 0.679 | 0.000 | 0.497 | 0.00 |
| Division ventralis | 0.604 | 0.000 | 0.700 | 0.000 | 0.287 | 0.024 | 0.235 | 0.203 |
| Division dorsalis | 0.602 | 0.000 | 0.647 | 0.000 | 0.671 | 0.000 | 0.543 | 0.002 |
| Truncus inferior | 0.573 | 0.000 | -0.078 | 0.675 | 0.760 | 0.000 | 0.148 | 0.427 |
| Division ventralis | 0.627 | 0.000 | 0.384 | 0.033 | 0.727 | 0.000 | 0.084 | 0.652 |
| Division dorsalis | 0.641 | 0.000 | 0.633 | 0.000 | 0.510 | 0.000 | 0.269 | 0.143 |
| Fasciculus lateralis | 0.349 | 0.005 | 0.691 | 0.000 | 0.684 | 0.000 | 0.161 | 0.388 |
| Fasciculus medialis | 0.575 | 0.000 | 0.135 | 0.469 | 0.688 | 0.000 | 0.271 | 0.140 |
| Fasciculus posterior | 0.411 | 0.001 | -0.236 | 0.202 | 0.799 | 0.000 | 0.372 | 0.039 |
| Radix medialis NM | 0.223 | 0.081 | 0.379 | 0.036 | 0.386 | 0.002 | 0.437 | 0.014 |
| Radix lateralis NM | 0.211 | 0.100 | 0.131 | 0.481 | 0.812 | 0.000 | 0.510 | 0.003 |
| N.medianus | - | - | - | - | 0.695 | 0.000 | 0.234 | 0.205 |
| N.radialis | - | - | - | - | 0.692 | 0.000 | -0.028 | 0.883 |
| N.ulnaris | - | - | - | - | 0.813 | 0.000 | -0.029 | 0.875 |
| N.axillaris | - | - | - | - | 0.691 | 0.000 | 0.255 | 0.167 |
| N.musculocutaneus | - | - | - | - | 0.647 | 0.000 | 0.388 | 0.031 |

(Radix medialis NM=radix medialis nervi mediani, Radix lateralis NM=radix lateralis nervi mediani)

KAYNAKLAR

1. Snell RS. Clinical Anatomy for Medical Students. 5th ed. Newyork: Little, Brown and Company, 1995: 393-8.
2. Odar İV. Anatomi Cilt 1. Ankara: Hacettepe Taş Kitapçılık, 1986; 424-55.
3. Rogers AW. Textbook of Anatomy. Newyork: Churchill Livingstone, 1992: 251.
4. Williams PL, Bannister LH, Berry M, et al: Gray's Anatomy. In: Berry M, Bannister LH, Standing SM. editors. Nervous system. 1266-1274, 38th ed, Churchill Livinstone, New York 1995.
5. Edmonson AS, Crenshaw AH. Campbell's Operative Orthopaedics. 6th ed. Toronto: C.V. Company, 1980: 142- 45.
6. Uzun A. Yenidoğanda plexus brachialis'in oluşumu, dallanması, varyasyonları ve klinik önemi üzerine morfometrik çalışma (Doktora Tezi). Samsun: On-dokuz Mayıs Sağlık Bilimleri Enstitüsü, 1994.anomalous coracoclavicular joint. J Bone Joint Surg 1993; 175-A: 1368- 70.
7. Senecail B, Delmas A, Quereux P. Morphologic and biometric data on the constitution of the brachial plexus in man. Bull Assoc Anat Nancy 1979 Dec; 63 (183): 513-25.
8. Koizumi M, Sakai T. On the morphology of the brachial plexus of the platypus and echidna. J Anat 1997; 190 (3): 147- 55.
9. Herzberg G, Narakas A, Comtet JJ, Bouchet A, Cartet JP. Microsurgical relations of the roots of the brachial plexus. Practical applications. Ann Chir Main 1985; 4 (2): 120-33.
10. Kasai T, Chiba S, Suzuki T, Okuno Y. Morphological characteristics of the posterior brachial cutaneous nerve; a consideration of the development of cutaneous nerves in man. Kaibogaku Zasshi 1989 Aug; 64 (4): 255-66.
11. Sarıkçıoğlu L, Çoşkun N, Oğuz N, Sindel M. Plexus brachialis'in truncus ve fasciculus'larının formasyon şekilleri. 4. Ulusal Anatomi Kongresi (1-5 Eylül 1997, İstanbul P-B33) kitabı p: 191 1997.
12. Polin RA, Fox WW. Fetal and Neonatal Physiology. In: Hensinger RN. Editor. Standards and Measurements: Fetus and Neonate. Philadelphia: W. B. Saunders company, 1992: 1688-96.
13. Jacob S. Anatomy: A Dissection Manual and Atlas. London: Churchill Livingstone, 1996: 10- 4.
14. Uysal İ İ: Fetislarda plexus brachialis oluşumuna katılan yapıların morfometrik analizi ve morfolojik varyasyonların araştırılması (İhtisas tezi). Konya: Selçuk Üniversitesi Tıp Fakültesi Anatomı Anabilim Dalı, 1999.
15. Kerr AT. The brachial plexus of nerves in man, the variations in its formation and branches. Am J Anat 1918; 23: 285-392.
16. Lee HY, Chung IH, Sir WS, Kang HS, Lee HS, Ko JS, Lee MS, Park SS. Variation of the ventral ramii of the brachial plexus. J Korean Med Sci 1992 Mar; 7 (1): 19-24.
17. Urbanowicz Z. The inferior trunk of the brachial plexus in man. Ann Univ Mariae Curie Skłodowska 1993; 48: 83-7.
18. Sarsılmaz M, Şendemir E, Çelik H, Gümüşalan Y, Şimşek C. Some variations of the brachial plexus in man. Turk J Med Res 1993; 4: 161- 5.
19. Sargon MF, Uslu SS, Çelik HH, Akşit D. A variation of the median nerve at the level of brachial plexus. Bull Assoc Anat Nancy 1995 Sep; 79 (246): 25-6.
20. Millesi H. Brachial plexus injuries, nerve grafting. Clin Orthop Rel Res 1988; 237: 36-42.
21. Narakas AO, Hentz VR. Neurotization in brachial plexus injury. Clin Orthop Rel Res 1988; 237: 43-56.